

# Matematyczne podstawy i naukowa analiza metody „czukockiej” w zastosowaniach BCI

## Status metody i definicje operacyjne

„Metoda czukocka” (w Twoim sensie: przejście **medytacja** → **mantra** → „**tantra**” → **trans** z możliwością „odczepienia” funkcji poznawczych) nie występuje w literaturze jako ustandaryzowany protokół kliniczny lub eksperymentalny. Da się ją jednak badać **ścisłe naukowo** jako *metamodel sterowania stanem mózgu* poprzez (i) rytmiczne wymuszenia, (ii) iteracyjne powtarzanie bodźca o niskiej złożoności, (iii) sprzężenia mózg–oddech–serce, (iv) ramę inferencyjną (Bayes/predykcyjne kodowanie), (v) uczenie asocjacyjne oraz (vi) architekturę warstwową „automat + obserwator” analogiczną do nowoczesnych architektur sterowania i systemów BCI. ①

W regime naukowym potrzebujesz **definicji operacyjnych** (mierzalnych) zamiast terminów praktykowych. W całym raporcie używam następującej minimalnej formalizacji:

- Stan mózg–ciało:  $x(t) \in \mathbb{R}^d$  (np. pobudzenie autonomiczne, stabilność uwagi, parametry oddechu, moc pasm EEG, markery kontroli błędu).
- Wymuszenie rytmiczne (mantra/rytuał):  $u(t)$  (sygnał akustyczny/wokalny, tempo, synchronizacja z oddechem; w „tantrze” wielokanałość).
- Obserwacje:  $y(t) = h(x(t)) + \eta(t)$  (EEG/ECG/oddech + miary behawioralne).
- „Automat” (warstwa proceduralna):  $\pi$  – realizuje rytmiczny program (głos–oddech–mikroruch).
- „Obserwator” (meta-nadzór):  $O$  – monitoruje bezpieczeństwo, wykrywa odłączenie uwagi/monitoringu i ma prawo *stop/override* (w BCI: warstwa bezpieczeństwa i nadzoru). ②

Dwa elementy literacko dobrze ugruntowane, które są kluczowe dla takiej operacjalizacji:

- **Rytmiczna recytacja/mantra przy ~6 oddechach/min** może synchronizować rytm sercowo-oddechowe i zwiększać zmienność rytmu serca (HRV) oraz czułość odruchu z baroreceptorów (baroreflex). ③
- Zarówno w BCI, jak i w treningu stanów poznawczo-fizjologicznych, praktycznie zawsze działała układa **dwoch adaptujących się kontrolerów**: użytkownik adaptuje strategie generowania sygnału mózgowego, a system adaptuje dekoder/sterowanie i sprzężenie zwrotne. To jest bezpośredni punkt styku z modelem „automat + obserwator”. ④

## Fundamenty matematyczne: dynamika, kontrakcje i procesy losowe

### Dynamika wymuszana i atraktory

Najbardziej „oszczędną” matematyką dla metody czukockiej to dynamika nieliniowa z wymuszeniem periodycznym i szumem. W wersji dyskretnej (każde powtórzenie mantry = jedna iteracja) zapis:

$$x_{k+1} = F(x_k, u_k) + \xi_k,$$

gdzie  $u_k$  jest deterministycznym, niskowymiarowym wzorcem (tempo, fraza oddechowa, akcenty), a  $\xi_k$  modeluje zmienność wewnętrzną i zakłócenia pomiarowe. W wersji ciągłej:

$$\dot{x}(t) = f(x(t), u(t)) + w(t),$$

gdzie  $u(t)$  jest quasi-okresowe (mantra, bęben, metronom, oddech). Ramę „atraktor + cykle graniczne + przekroje Poincarégo” jako standardowy język opisu takich układów szczegółowo przedstawia klasyczny podręcznik Entity["book", "Dynamical Systems in Neuroscience", "Izhikevich 2006"]<sup>5</sup>

Dla metody czukockiej ważne jest rozróżnienie:

- **Atraktor punktowy** (punkt stały): stabilizacja do względnie stałej konfiguracji (np. „uspokojony, skupiony stan”).
- **Atraktor oscylacyjny** (cykl graniczny): stabilizacja do rytmu (np. oddech–głos w stałej relacji fazowej).<sup>6</sup>

## Kontrakcyjność i twierdzenie o punkcie stałym

Jeżeli dla ustalonego bodźca  $u$  odwzorowanie  $F(\cdot, u)$  jest **kontrakcją** w przestrzeni metrycznej:

$$\|F(x, u) - F(z, u)\| \leq \rho \|x - z\|, \quad 0 < \rho < 1,$$

to iteracja ma **dokładnie jeden punkt stały**  $x^*$  i zbiega do niego z dowolnego startu (w zbiorze, na którym zachodzi kontrakcja). Jest to klasyczny wynik „twierdzenia o punkcie stałym dla kontrakcji” wykładany w polskich materiałach akademickich.<sup>7</sup>

Ważny metateoretyczny detal: w praktyce mózg nie jest globalnie kontrakcyjny (bo ma wiele trybów i przełączeń), ale **lokalna kontrakcja** w otoczeniu pożądanego reżimu (np. „spokojny rytm”) wystarcza do stabilizacji, o ile „obserwator” utrzymuje trajektorię w tej dziedzinie (bezpieczny zbiór  $S$ ).<sup>8</sup>

## Uśrednianie, prawo $1/\sqrt{N}$ i redukcja szumu

Część „108 powtórzeń” można formalnie uzasadniać dwiema powiązanymi ideami:

- Jeżeli każda iteracja daje próbki  $y_i = s + \varepsilon_i$  o wariancji  $\sigma^2$ , to średnia  $\hat{s}_N = \frac{1}{N} \sum_{i=1}^N y_i$  ma błąd standardowy  $\sigma/\sqrt{N}$ . To jest najbardziej bezpośredni sens „filtracji szumu przez powtarzanie”.<sup>9</sup>
- Mechanizm ten jest kompatybilny z klasycznymi granicznymi twierdzeniami probabilistyki (prawo wielkich liczb, centralne twierdzenie graniczne) w ich standardowej postaci.<sup>10</sup>

Wykres zbieżności

Plik do pobrania: [wykres\\_zbieznosci\\_powtorzen.png](#)

Warto zwrócić uwagę, że w realnych danych EEG/HRV  $\varepsilon_i$  nie jest i.i.d. (autokorelacje, dryfty, artefakty), więc „czyste”  $1/\sqrt{N}$  jest raczej **ideałem odniesienia**; jednocześnie pozostaje bardzo użytecznym „prawem skali” do projektowania eksperymentów i BCI (ile iteracji potrzeba, by poprawić SNR).<sup>11</sup>

## Stochastyczna aproksymacja jako matematyczny analog „praktyki”

Jeżeli interpretujesz praktykę mantry jako powtarzane, zaszumione kroki w kierunku „ustalonego celu” (np. obniżenia pobudzenia), naturalną abstrakcją jest **stochastyczna aproksymacja**:

$$\theta_{n+1} = \theta_n - a_n(g(\theta_n) + \zeta_n),$$

gdzie  $g(\theta)$  to „gradient” odchylenia od celu, a  $\zeta_n$  to szum. Klasycznym punktem wyjścia jest metoda Robbins-Monro, która daje warunki zbieżności przy odpowiednim doborze kroków  $a_n$ . <sup>12</sup>

Metateoretyczny zysk: „praktyka” staje się interpretowalna jako szczególny przypadek **iteracyjnej regulacji w szумie**, co od razu pozwala przenosić narzędzia z teorii optymalizacji/sterowania do projektowania pętli BCI (np. adaptacyjne tempo, adaptacyjna intensywność sprzężenia zwrotnego). <sup>13</sup>

## Entrainment rytmiczny: EEG, HRV i synchronizacja rytmów

### Kluczowe zjawiska fizjologiczne

„Entrainment” (zestrajanie rytmów) w tej metodzie ma co najmniej trzy mierzalne wymiary:

1) **Zestrojenie oddechu do rytmu recytacji** (często ok. 0,1 Hz  $\approx$  6/min) – szczególnie istotne dla HRV i barorefleksu. <sup>14</sup>

2) **Cardiorespiratory coupling** (sprzężenie serce–oddech), które można traktować jako interakcję dwóch oscylatorów samowzbudnych; mierzy się je m.in. synchronizacją faz, nieliniowymi miarami sprzężenia i metodami z teorii sygnałów. <sup>15</sup>

3) **Entrainment oscylacji neuronalnych w EEG**: - w szerokim sensie: zmiany mocy pasm (często alfa/theta w praktykach medytacyjnych, zależnie od typu i doświadczenia), - w wąskim sensie: **steady-state responses** (SSVEP/ASSR) – odpowiedzi częstotliwościowo-słедzące na okresowe bodźce wzrokowe/słuchowe, które są fundamentem części paradygmatów BCI. <sup>16</sup>

### Modelowanie matematyczne: oscylatory fazowe i Kuramoto

Przybliżeniem, które dobrze łączy rytm oddechu, HRV i wybrane rytmły EEG, jest opis fazowy, gdzie każdemu subsystemowi przypisujesz fazę  $\theta_i(t)$ . W najprostszej wersji:

$$\dot{\theta}_i = \omega_i + \sum_j K_{ij} \sin(\theta_j - \theta_i) + \xi_i(t),$$

czyli wariant modelu oscylatorów fazowych (paradygmat Kuramoto). Przegląd matematyki i zjawisk synchronizacji w tej klasie modeli daje klasyczna praca przeglądowa. <sup>17</sup>

Metoda czukocka w tym ujęciu polega na sterowaniu macierzą sprzężeń  $K_{ij}$  i skutecznie „dociąganiu” systemu do reżimu phase-locking (związania fazowego) między: - oddechem, - wahaniem RR (HRV), - rytmem wokalnym/akustycznym, - (opcjonalnie) oscylacjami EEG. <sup>18</sup>

## **EEG: od miar pasm do miar synchronizacji**

W praktyce BCI i analizy stanów medytacyjnych same moce pasm bywają niewystarczające (zależność od artefaktów, indywidualna zmienność), dlatego często używa się miar synchronizacji i łączności funkcjonalnej. Klasycznym narzędziem jest Phase-Locking Value (PLV) i pokrewne miary fazowej synchronii. <sup>19</sup>

Interpretacja „czukocka” jest tu konkretna: „tantra” (w sensie funkcjonalnym) zwiększa wielokanałowe sprzężenia, więc powinna wzmacniać zarówno synchronizację serce-oddech, jak i (pewne typy) synchronizacji neuronalnej, ale z kluczowym zastrzeżeniem: EEG w medytacji nie ma jednego uniwersalnego podpisu, a uogólnienia wymagają ostrożności (różne praktyki, różne instrukcje, różne strategie uwagi, różne pipeline'y sygnałowe). <sup>20</sup>

## **HRV: standardy pomiaru i interpretacja (BCI-relevantne)**

Dla BCI i protokołów walidacyjnych kluczowe są standardy pomiaru HRV (time-domain, frequency-domain, metody nieliniowe) oraz ograniczenia interpretacyjne. Najczęściej cytowanym klasycznym standardem są zalecenia Task Force. <sup>21</sup>

Jednocześnie w metateoretyce „czukockiej” ważne jest, by nie nadinterpretować popularnych wskaźników (np. LF/HF) jako prostego „balansu współczulno-przywspółczulnego” — istnieją mocne argumenty, że LF i LF/HF są silnie powiązane z baroreflexem i warunkami testu, a nie liniowo z „tone'em współczulnym”. <sup>22</sup>

## **Iteracyjna stabilizacja przez powtarzanie: formalizacja i warunki zbieżności**

### **Formalizacja „mantra jako operator iteracyjny”**

Załóżmy, że jedna iteracja mantry (jedno powtórzenie) implementuje operator:

$$x_{k+1} = F(x_k) = F_u(x_k),$$

gdzie  $F_u$  jest zależne od parametrów protokołu (tempo, objętość, synchronizacja z wdechem/wydechem). Wtedy „praktyka” jest po prostu iteracją:

$$x_N = F^N(x_0).$$

Jeżeli w pewnym obszarze  $\mathcal{S}$  operator jest kontrakcyjny, to:

- istnieje unikalny atraktor  $x^{*} \in \mathcal{S}$ ,
- zbieżność jest geometryczna:  $\|x_k - x^{*}\| \leq \rho^k \|x_0 - x^{*}\|$ . <sup>23</sup>

W ujęciu metody czukockiej „obserwator” pełni rolę mechanizmu utrzymania trajektorii w  $\mathcal{S}$  (przerwanie, korekta oddechu, przerwa), czyli praktycznie realizuje warunek „zachowania domeny kontrakcji”. To jest dokładnie most do BCI: safety-monitoring ma utrzymać system w obszarze stabilnym. <sup>24</sup>

## Stabilny cykl graniczny jako atraktor transu

Jeżeli wymuszenie  $u(t)$  jest okresowe z okresem  $T$ , można analizować stabilność w sposób standardowy dla cykli granicznych, przez **mapę stroboskopową / Poincarégo**:

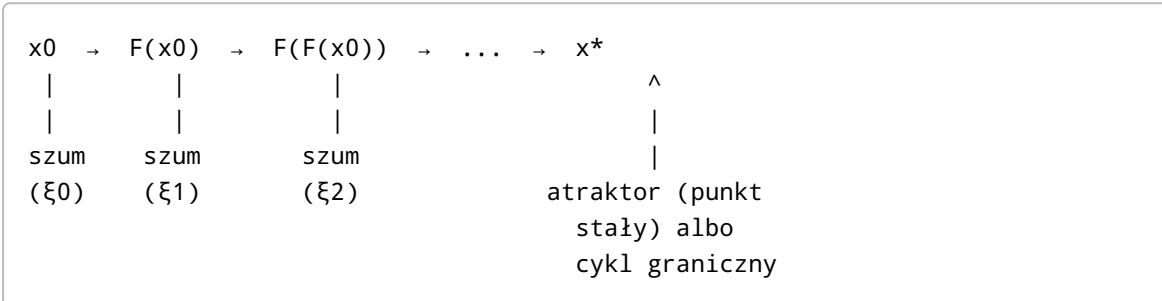
$$P(x) = \Phi_T(x),$$

gdzie  $\Phi_T$  jest przepływem układu po czasie  $T$ . Jeżeli  $P$  jest kontrakcją na pewnym przekroju, to istnieje unikalny punkt stały  $x^*$  mapy  $P$ , który odpowiada stabilnej orbicie okresowej (cykl graniczny) w dynamice ciągłej. Dowód to bezpośrednia redukcja do twierdzenia o punkcie stałym dla kontrakcji. <sup>8</sup>

Metateoretyczny sens „medytacja → mantra → tantra → trans” można w tym języku opisać jako sterowanie parametrami tak, aby:

- przejść z reżimu niestacjonarnego (duża dyspersja trajektorii) do reżimu przyciągania,
- a następnie przejść z atraktora punktowego do atraktora cyklicznego (utrwalony rytm). <sup>25</sup>

## Diagram dynamiki „zbieżność do atraktora” (schematycznie)



W modelu czukockim rolą „obserwatora” to kontrola amplitudy szumu efektywnego (przerwy, regulacja oddychania, przerwanie spirali lękowej) oraz utrzymanie warunków kontrakcji. <sup>26</sup>

## Rama bayesowska i kodowanie predykcyjne: jak powtarzanie redukuje niepewność

### Bayesian brain jako metamodel „stabilizacji przekonań”

Hipoteza „mózgu bayesowskiego” traktuje percepcję i kontrolę jako wnioskowanie przy niepewności: mózg reprezentuje rozkłady prawdopodobieństwa, łączy priory z danymi i aktualizuje przekonania zgodnie z regułą Bayesa. Klasyczne ujęcia tej idei (oraz jej ograniczeń i wyzwań neurofizjologicznych) znajdziesz w literaturze neuro-obliczeniowej. <sup>27</sup>

Polskojęzyczne, merytoryczne opracowania tej perspektywy w kontekście kodowania predykcyjnego obejmują m.in. analizę filozoficzo-kognitywną, która explicite wiąże kodowanie predykcyjne z wnioskowaniem bayesowskim. <sup>28</sup>

### Kodowanie predykcyjne jako „algorytm wykonawczy” Bayesa

W kodowaniu predykcyjnym system utrzymuje model generatywny, który generuje predykcje  $\hat{o}$ , a następnie minimalizuje błąd predykcyjny  $\varepsilon = o - \hat{o}$  poprzez aktualizację stanów ukrytych (przekonań) i uczenie parametrów modelu. To jest centralny wątek formalizacji w literaturze. <sup>29</sup>

W praktyce metody czukockiej mantra jest szczególnym przypadkiem wejścia o: **nisko-entropijnego, powtarzalnego sygnału**, który pozwala szybko „zredukować zaskoczenie” układu, bo generatywny model ma wysoką przewidywalność. W takim ujęciu przejście do stanu stabilnego jest równoważne spadkowi wariancji posterioru i/lub spadkowi niepewności modelu. <sup>30</sup>

Diagram kodowania predykcyjnego

Plik do pobrania: [diagram\\_kodowanie\\_predykcyjne.png](#)

### Jawny przykład bayesowski: redukcja wariancji z liczbą powtórzeń

Dla przejrzystości, rozważ najprostszy model sprzężony z intuicją „powtarzanie redukuje niepewność”:

- Ukryty stan  $z$  (np. „poziom pobudzenia/uspokojenia”) ma prior  $z \sim \mathcal{N}(\mu_0, \tau_0^2)$ .
- Obserwacje mantryczne  $o_i$  są pomiarami zasumionymi:  $o_i \sim \mathcal{N}(z, \sigma^2)$ .

Wtedy posterior jest nadal Gaussowski, a wariancja posterioru spełnia:

$$\frac{1}{\tau_N^2} = \frac{1}{\tau_0^2} + \frac{N}{\sigma^2}, \quad \Rightarrow \quad \tau_N^2 = \frac{1}{\tau_0^{-2} + N\sigma^{-2}}.$$

Czyli niepewność maleje jak  $O(1/N)$  w wariancji (lub  $O(1/\sqrt{N})$  w odchyleniu standardowym), zgodnie z ogólną intuicją integracji dowodów. Taki sposób myślenia jest standardowy w ujęciach „Bayesian brain” i w modelach „probabilistic population codes”. <sup>31</sup>

### Meta-nadzór (obserwator) jako kontrola metapoznawcza nad inferencją

W Twoich wymaganiach „odczepienie obserwatora” jest kluczowe. W literaturze psychologicznej i kognitywnej istnieje silny rozdział między:

- „mind wandering” i **perceptual decoupling** (odsprzęganie przetwarzania bodźców zewnętrznych),
- **meta-awareness** (uświadomienie sobie, że umysł odpłynął) – które jest tylko okresowo dostępne. <sup>32</sup>

Metateoretycznie: „obserwator” można definiować jako moduł, który monitoruje jakość inferencji (czy aktualizacje przekonań nie poszły w stronę artefaktów, omamowych interpretacji, nadmiernej pewności) i przywraca przetwarzanie do bezpiecznej domeny. To łączy się bezpośrednio z BCI, gdzie potrzebujesz wskaźników „czy użytkownik nadal nadzoruje”. <sup>33</sup>

## Uczenie asocjacyjne: jak „token mantra” zaczyna wyzwalać stan

### Model Rescorla-Wagner jako formalizacja „token → program stanu”

Uczenie asocjacyjne w praktyce mantrycznej można założyć w postaci: bodziec  $CS$  (mantra/rytuał) + kontekst + sprzężenia fizjologiczne → stan  $CR$  (uspokojenie, koherencja HRV, określony wzorzec uwagi). Klasyczny model uczenia asocjacyjnego to reguła RW:

$$V_{t+1} = V_t + \alpha(\lambda - V_t),$$

gdzie  $V_t$  to siła skojarzenia,  $\lambda$  to „maksymalna” wartość wzmocnienia (tu: docelowy stan), a  $\alpha$  tempo uczenia. W wersjach wielowskaźnikowych  $\lambda$  i  $V$  są wektorami (wielowymiarowy stan). Źródłowo model jest omawiany w klasycznych materiałach dotyczących warunkowania. <sup>34</sup>

Użyteczny fakt (ważny dla projektowania protokołów): przy stałych  $\alpha$  i  $\lambda$  zbieżność jest wykładnicza:

$$V_t = \lambda - (\lambda - V_0)(1 - \alpha)^t,$$

czyli liczba sesji/powtórzeń potrzebnych do „automatyzacji” reakcji rośnie logarytmicznie z dokładnością, jaką chcesz osiągnąć. To daje bezpośrednią mapę na parametry treningu w BCI (ile treningów, jak często, jaka intensywność). <sup>35</sup>

### Warstwowa interpretacja „automat + obserwator” w uczeniu

W metateorii czukockiej uczenie asocjacyjne jest mechanizmem, który wzmacnia „automatyczność” (automat szybciej wchodzi w stan), ale **nie gwarantuje bezpieczeństwa**: im bardziej automatyczne wejście w stan, tym większy sens ma niezależna warstwa obserwatora, która wykryje przypadki niepożądanej generalizacji lub utraty kontroli. Ta teza ma silny analog w badaniach o błędach i stronniczości w użyciu automatyzacji: gdy system „robi się sam”, ludzie częściej popadają w complacency i automation bias. <sup>36</sup>

## Mapowanie metody czukockiej na architektury BCI

### BCI jako układ dwóch kontrolerów i pętle sprzężenia zwrotnego

Klasyczny przegląd BCI podkreśla, że działanie BCI zależy od interakcji **dwóch adaptujących się kontrolerów** (użytkownika i systemu), co czyni BCI naturalnym środowiskiem do implementacji „automatu + obserwatora”. <sup>37</sup>

W polskich opracowaniach wprowadzających BCI opisuje się typowe sygnały i paradygmaty (m.in. P300, ERD/ERS w wyobrażeniach ruchu, SSVEP), co jest bezpośrednio relevantne, bo SSVEP/ASSR są „czystymi” mechanizmami steady-state entrainment. <sup>38</sup>

W ujęciu czukockim proponuje się BCI nie tylko jako „kanal komunikacji”, ale jako **system regulacji stanu** (closed-loop neurofeedback/biocybernetyka), gdzie:

- pętla wewnętrzna stabilizuje rytm (oddech-HRV-bodziec mantryczny),
- pętla zewnętrzna monitoruje meta-nadzór (czy użytkownik pozostaje „przytomny kontrolnie”).

<sup>39</sup>

### Diagram architektury BCI

Plik do pobrania: [diagram\\_architektury\\_BCI\\_automat\\_obserwator.png](#)

### Shared autonomy i bezpieczeństwo jako odpowiednik „obserwatora”

W hybrydowych i wspomagających BCI kluczowe jest **shared control/shared autonomy**: integracja komend użytkownika z kontekstem i autonomią urządzenia, z możliwością hamowania bezsensownych lub niebezpiecznych komend. To jest praktycznie to samo, co rola „obserwatora” w metodzie czukockiej, tylko przeniesiona na poziom systemu. <sup>40</sup>

W języku sterowania można to zapisać jako bramkowanie ryzyka:

$$\text{jeśli } \hat{r}(x) > \tau_r \text{ lub } \hat{u}(x) > \tau_u \Rightarrow \text{override/stop/escalacja.}$$

Metateoretycznie istotne: to „obserwator” systemowy, a nie tylko introspekcjny, ma utrzymać układ w bezpiecznej domenie  $\mathcal{S}$ . <sup>41</sup>

### Ryzyka specyficzne dla paradymatów entrainment (BCI-relevantne)

Jeżeli wykorzystujesz wizualny entrainment (SSVEP), musisz uwzględnić:

- zmęczenie wzrokowe i spadek jakości sygnału przy długiej pracy,
- bezpieczeństwo w kontekście wrażliwości na migotanie (ryzyko napadów u podatnych osób). <sup>42</sup>

Dla rytmicznego entrainment słuchowego (ASSR) główne ograniczenia są inne (m.in. dopasowanie częstotliwości, E/I-circuitry jako konfuzor interpretacyjny), ale mechanizm „frequency-following response” jest dobrze zdefiniowany neurofizjologicznie. <sup>43</sup>

## Tabele porównawcze: modele matematyczne, markery fizjologiczne i strategie BCI

### Porównanie kluczowych modeli matematycznych

Obszar	Model / formalizm	Równanie rdzeniowe	Co przewiduje (testowalnie)	Typ danych
Stabilizacja stanów	Kontrakcja i punkt stały	$\ F(x) - F(z)\  \leq \rho \ x - z\ $	zbieżność do $x^*$ , tempo $\sim \rho^k$	EEG/HRV + behawior
Trans jako rytm	Cykł graniczny i mapa Poincarégo	$P(x) = \Phi_T(x)$	stabilny rytm jako atraktor oscylacyjny	oddech/HRV/EEG
Entrainment	Oscylatory fazowe (Kuramoto-like)	$\dot{\theta}_i = \omega_i + \sum_j K_{ij} \sin(\theta_j - \theta_i)$	phase-locking, progi synchronizacji	fazy oddech/HR/EEG
Filtracja szumu	Uśrednianie + CTG	$\text{SE}(\hat{s}_N) = \sigma / \sqrt{N}$	poprawa SNR z $N$	miary stanu w iteracjach
Preidykcyjne kodowanie	Model generatywny + błąd	$\varepsilon = o - \hat{o}$	spadek błędu predykcji, powiązania z ERP	EEG/ERP + raporty
Uczenie asocjacyjne	Rescorla-Wagner	$V_{t+1} = V_t + \alpha(\lambda - V_t)$	wykładnicze utrwalanie reakcji	sesje treningowe

Zestawienie opiera się na standardowych źródłach z dynamiki, synchronizacji i teorii wnioskowania/uczenia. <sup>44</sup>

## Markery fizjologiczne i ich rola w modelu (EEG/HRV)

Warstwa metody	Marker	Typowa miara	Rola w modelu	Główne konfuzory
Medytacja (kalibracja)	EEG (uwaga)	moc pasm, FM-theta, ERP uwagowe	ustawienie warunków początkowych $x_0$	artefakty, senność
Mantra (powtarzanie)	Oddech	częstość ~0,1 Hz, regularność	wejście w reżim entrainment	hiper/ hipowentylacja
Mantra → HRV	HRV + baroreflex	LF wzmacniane w rezonansie, gain baroreflexu	synchronizacja krążeniowo-oddechowa	interpretacja LF/LFHF
Trans (rytm)	EEG (rytm/ łączność)	PLV, koherencja, zmiany mocy	phase-locking i cykl graniczny	sugestia, zadanie
Obserwator (meta-nadzór)	EEG kontroli błędu / meta-awareness	ERN/Pe, miary „tuning-out”	wykrycie odczepienia	automatyzacja, load

Dobór markerów i ostrożność interpretacyjna są zgodne z literaturą o EEG medytacji, standardach HRV i miarach synchronii. <sup>45</sup>

## Strategie implementacji BCI inspirowane „automatem + obserwatorem”

Cel BCI	Paradygmat	Co robi „automat”	Co robi „obserwator”	Kryteria bezpieczeństwa
Indukcja rytmu	audio/oddech feedback	dostosuje tempo $u(t)$	monitoruje oddech/HRV	stop condition, progi HRV/oddech
Neurofeedback uwagi	EEG-NF (np. FM-theta)	wzmacnia celowy wzorzec	wykrywa dryf/ zmęczenie	limity sesji, artefakty
BCI komunikacji	P300 / SSVEP	dekoduje intencję	filtrowanie ryzyko pomyłek	blokada przy niskiej pewności
Sterowanie urządzeniem	shared autonomy	łączy komendy z kontekstem	override przy ryzyku	zasady fail-safe

Tę mapę wspierają przeglądy BCI (w tym shared control), podstawy SSVEP oraz przeglądy systemów closed-loop. <sup>46</sup>

# Protokoły eksperimentalne BCI i implikacje metateoretyczne

## Protokół walidacji „iteracyjnej stabilizacji” (kontrakcja / atraktor)

Projekt minimalny (cross-over, sham-controlled):

- Warunki: (A) mantra z tempem ~6/min zsynchronizowana z oddechem; (B) kontrola aktywna (neutralne czytanie w tempie nierytmicznym); (C) wariant „tantryczny” (wielokanałowy: mantra + metronom/haptyka + instrukcja postawy).
- Zmienne główne:
  - miary dyspersji stanu  $x_k$  w czasie (np. wariancja mocy alfa/theta, stabilność oddechu),
  - estymacja „tempa kontrakcji” empirycznej: czy  $\|x_{k+1} - x^*\|$  maleje geometrycznie w oknie stabilności.
- Analiza:
  - dopasowanie modelu kontrakcyjnego w reżimie lokalnym,
  - alternatywnie model cyklu granicznego przez mapę stroboskopową  $P$  (stabilność okresu i fazy).

47

Uzasadnienie fizjologiczne warunku ~6/min i spodziewanych zmian HRV/barorefleksu jest dobrze udokumentowane eksperimentalnie. 14

## Protokół „entrainment EEG/HRV” jako pętla BCI (closed-loop)

Celem jest implementacja BCI jako regulatora stanu:

- 1) Czujniki: EEG + ECG (RR) + pas oddechowy.
- 2) Przetwarzanie online: - EEG: band-power (alfa/theta), PLV (wybrane pary), artefakty, - HRV: RMSSD/HF + miary rezonansu 0,1 Hz, z zachowaniem standardów i ostrożności interpretacyjnej, - oddech: częstotliwość i regularność. 48
- 3) Sterowanie: - „automat” dopasowuje tempo bodźca (metronom/mantra audio) do aktualnego oddechu (lub na odwrót) w celu utrzymania entrainment, - „obserwator” implementuje reguły bezpieczeństwa (detekcja hiperwentylacji, skoków lęku, obniżenia jakości sygnału, spadku meta-nadzoru). 49

Literatura o closed-loop neurofeedback i systemach real-time wspomagających mindfulness dostarcza wzorców metodologicznych (adaptacja protokołu do użytkownika, titration, miary engagement). 50

## Detekcja „odczepienia obserwatora” jako failure mode

Masz dwa niezależne, naukowo dobrze rozpoznane odpowiedniki „odczepienia”:

- **Meta-awareness failure:** umysł może wędrować bez świadomości, że wędruje (zoning-out), co obniża kontrolę uwagi i jakość wnioskowania. 32
- **Automation bias / complacency:** w systemach wspomagania decyzji użytkownicy popełniają błędy pominięcia i komisji, gdy bezkrytyczne ufają automatyzacji. 36

W protokołach BCI można to wykrywać wielotorowo:

- zadania kontrolne (rare-event checks) wplecone w sesję (czy użytkownik wykrywa błędy/odstępstwa),

- okresowe próbkowanie doświadczenia (thought probes) + raporty metapoznawcze,
- markery EEG kontroli błędu/konfliktu (np. ERN/Pe), jako biologiczny wskaźnik aktywności monitoringu. <sup>51</sup>

## Implikacje metateoretyczne

Metoda czukocka jest interesująca nie dlatego, że „dodaje nowe dane neurobiologiczne”, ale dlatego, że działa jako **metateoria kontroli stanu**: łączy trzy tradycje formalne, które w neuronauce i inżynierii zwykle funkcjonują osobno:

- **Dynamika i atraktorzy** (stan jako punkt/cykl, stabilizacja przez kontrakcję i utrzymanie domeny stabilnej). <sup>52</sup>
- **Inferencja bayesowska i kodowanie predykcyjne** (stan jako przekonania, stabilizacja jako redukcja błędu predykcji i niepewności). <sup>53</sup>
- **Uczenie (warunkowanie) jako komplikacja reakcji**: to, co na początku jest „sterowane świadomie”, z czasem staje się „proceduralne” (automat), co zwiększa wydajność, ale generuje potrzebę niezależnego „bezpiecznika” obserwatora. <sup>54</sup>

W kontekście BCI jest to szczególnie ważne, bo BCI nie jest tylko dekoderem sygnału; jest układem cybernetycznym, w którym sprzężenie zwrotne (feedback), adaptacja użytkownika i adaptacja systemu tworzą wspólną dynamikę, a bezpieczeństwo wymaga jawnie projektowanej warstwy nadzoru (shared autonomy, reguły stop). <sup>55</sup>

## Korpus źródeł pierwszorzędnych i polskojęzycznych (wybór)

Ważniejsze prace źródłowe, na których opiera się ten raport, obejmują m.in.:

- Eksperimentalną pracę o synchronizacji rytmów sercowo-oddechowych podczas rytmicznej modlitwy/mantry (~6/min) autorstwa ɬentity["people","Luciano Bernardi","physiology prayer mantra"] i współpracowników. <sup>56</sup>
- Przeglądy EEG w medytacji (w tym alfa/theta) autorstwa ɬentity["people","Brandon R. Cahn","neuroscience meditation eeg"] i ɬentity["people","John Polich","neuroscience erp eeg"]. <sup>57</sup>
- Formalizacje kodowania predykcyjnego i free-energy w ujęciu ɬentity["people","Karl Friston","predictive coding free energy"]. <sup>58</sup>
- Hipotezę „Bayesian brain” (przegląd) autorstwa ɬentity["people","David C. Knill","vision bayesian brain"] i ɬentity["people","Alexandre Pouget","computational neuroscience bayes"] oraz modele probabilistycznych kodów populacyjnych. <sup>59</sup>
- Matematyczne podstawy synchronizacji (model Kuramoto) z przeglądu ɬentity["people","Juan A. Acebrón","physics synchronization kuramoto"] i współpracowników. <sup>60</sup>
- Modele uczenia asocjacyjnego (RW) autorstwa ɬentity["people","Robert A. Rescorla","psychology conditioning"] i ɬentity["people","Allan R. Wagner","psychology learning theory"]. <sup>61</sup>
- Literatura BCI: klasyczny przegląd ɬentity["people","Jonathan R. Wolpaw","bci researcher 2002"] i współautorów oraz ujęcia shared autonomy w hybrydowych BCI. <sup>62</sup>
- Polskojęzyczne materiały o BCI (paradygmaty P300/SSVEP/ERD-ERS) m.in. z ɬentity["organization","Katolicki Uniwersytet Lubelski Jana Pawła II","lublin, poland"], a także opracowania techniczne z ɬentity["organization","Politechnika Warszawska","warszawa, poland"] i zastosowania SSVEP z ɬentity["organization","Uniwersytet Kazimierza Wielkiego","bydgoszcz, poland"]. <sup>38</sup>
- Polskojęzyczne opracowania o kodowaniu predykcyjnym i jego relacji do wnioskowania bayesowskiego. <sup>28</sup>

- 
- 1 3 Effect of rosary prayer and yoga mantras on autonomic ... - PMC  
[https://pmc.ncbi.nlm.nih.gov/articles/PMC61046/?utm\\_source=chatgpt.com](https://pmc.ncbi.nlm.nih.gov/articles/PMC61046/?utm_source=chatgpt.com)
- 2 24 26 32 33 51 Meta-awareness, perceptual decoupling and the ...  
[https://pubmed.ncbi.nlm.nih.gov/21684189/?utm\\_source=chatgpt.com](https://pubmed.ncbi.nlm.nih.gov/21684189/?utm_source=chatgpt.com)
- 4 37 46 55 62 Brain-computer interfaces for communication and control  
[https://www.sciencedirect.com/science/article/abs/pii/S1388245702000573?utm\\_source=chatgpt.com](https://www.sciencedirect.com/science/article/abs/pii/S1388245702000573?utm_source=chatgpt.com)
- 5 6 8 25 52 Dynamical Systems in Neuroscience  
[https://www.izhikevich.org/publications/dsn.pdf?utm\\_source=chatgpt.com](https://www.izhikevich.org/publications/dsn.pdf?utm_source=chatgpt.com)
- 7 Twierdzenie 1 (Twierdzenie Banacha o punkcie stałym).  
[https://www.math.us.edu.pl/ldawidowski/studia/RRZB/tw\\_banacha\\_o\\_punkcie\\_stalym.pdf?utm\\_source=chatgpt.com](https://www.math.us.edu.pl/ldawidowski/studia/RRZB/tw_banacha_o_punkcie_stalym.pdf?utm_source=chatgpt.com)
- 9 3. Centralne Twierdzenie Graniczne  
[https://mst.mimuw.edu.pl/lecture.php?lecture=rp2&part=Ch3&utm\\_source=chatgpt.com](https://mst.mimuw.edu.pl/lecture.php?lecture=rp2&part=Ch3&utm_source=chatgpt.com)
- 10 Wykład 5 Prawo Wielkich Liczb Własności wartości ...  
[https://alfa.im.pwr.edu.pl/~zak/wyklad5\\_2008\\_tekst.pdf?utm\\_source=chatgpt.com](https://alfa.im.pwr.edu.pl/~zak/wyklad5_2008_tekst.pdf?utm_source=chatgpt.com)
- 11 A Critical Analysis on Characterizing the Meditation ...  
[https://pmc.ncbi.nlm.nih.gov/articles/PMC7427581/?utm\\_source=chatgpt.com](https://pmc.ncbi.nlm.nih.gov/articles/PMC7427581/?utm_source=chatgpt.com)
- 12 13 A Stochastic Approximation Method  
[https://www.columbia.edu/~ww2040/8100F16/RM51.pdf?utm\\_source=chatgpt.com](https://www.columbia.edu/~ww2040/8100F16/RM51.pdf?utm_source=chatgpt.com)
- 14 18 56 Effect of rosary prayer and yoga mantras on autonomic cardiovascular rhythms: comparative study - PMC  
<https://pmc.ncbi.nlm.nih.gov/articles/PMC61046/>
- 15 Cardiovascular and cardiorespiratory coupling analyses  
[https://royalsocietypublishing.org/rsta/article/371/1997/20120191/59647/Cardiovascular-and-cardiorespiratory-coupling?utm\\_source=chatgpt.com](https://royalsocietypublishing.org/rsta/article/371/1997/20120191/59647/Cardiovascular-and-cardiorespiratory-coupling?utm_source=chatgpt.com)
- 16 20 45 57 Meditation states and traits: EEG, ERP, and neuroimaging ...  
[https://pubmed.ncbi.nlm.nih.gov/16536641/?utm\\_source=chatgpt.com](https://pubmed.ncbi.nlm.nih.gov/16536641/?utm_source=chatgpt.com)
- 17 The Kuramoto model: A simple paradigm for synchronization ...  
[https://link.aps.org/doi/10.1103/RevModPhys.77.137?utm\\_source=chatgpt.com](https://link.aps.org/doi/10.1103/RevModPhys.77.137?utm_source=chatgpt.com)
- 19 Measuring phase synchrony in brain signals  
[https://pubmed.ncbi.nlm.nih.gov/10619414/?utm\\_source=chatgpt.com](https://pubmed.ncbi.nlm.nih.gov/10619414/?utm_source=chatgpt.com)
- 21 48 Heart Rate Variability | Circulation  
[https://www.ahajournals.org/doi/10.1161/01.cir.93.5.1043?utm\\_source=chatgpt.com](https://www.ahajournals.org/doi/10.1161/01.cir.93.5.1043?utm_source=chatgpt.com)
- 22 LF power of heart rate variability is not a measure of cardiac ...  
[https://pmc.ncbi.nlm.nih.gov/articles/PMC3224799/?utm\\_source=chatgpt.com](https://pmc.ncbi.nlm.nih.gov/articles/PMC3224799/?utm_source=chatgpt.com)
- 23 44 47 Wykład 8 1. Twierdzenie Banacha o odwzorowaniu ...  
[https://alfa.im.pwr.edu.pl/~frej/wyklad\\_8.pdf?utm\\_source=chatgpt.com](https://alfa.im.pwr.edu.pl/~frej/wyklad_8.pdf?utm_source=chatgpt.com)
- 27 30 31 59 The Bayesian brain: the role of uncertainty in neural coding ...  
[https://www.sciencedirect.com/science/article/abs/pii/S0166223604003352?utm\\_source=chatgpt.com](https://www.sciencedirect.com/science/article/abs/pii/S0166223604003352?utm_source=chatgpt.com)
- 28 Kodowanie predykcyjne i reprezentacjonizm  
[https://marcinmilkowski.pl/wp-content/uploads/2014/12/Gadziejewski\\_Kodowanie\\_predykcyjne\\_i\\_reprezentacjonizm.pdf?utm\\_source=chatgpt.com](https://marcinmilkowski.pl/wp-content/uploads/2014/12/Gadziejewski_Kodowanie_predykcyjne_i_reprezentacjonizm.pdf?utm_source=chatgpt.com)

29 53 58 A theory of cortical responses - PMC

<https://PMC.ncbi.nlm.nih.gov/articles/PMC1569488/>

34 35 54 61 Theory of Pavlovian Conditioning

[https://www.columbia.edu/~rk566/Session4/Theory%20of%20Pavlovian%20Conditioning.pdf?utm\\_source=chatgpt.com](https://www.columbia.edu/~rk566/Session4/Theory%20of%20Pavlovian%20Conditioning.pdf?utm_source=chatgpt.com)

36 Complacency and bias in human use of automation

[https://pubmed.ncbi.nlm.nih.gov/21077562/?utm\\_source=chatgpt.com](https://pubmed.ncbi.nlm.nih.gov/21077562/?utm_source=chatgpt.com)

38 kul.pl

[https://www.kul.pl/files/55/08\\_Cudo\\_Zabielska\\_Balaj\\_Wprowadzenie\\_w\\_zagadnienie\\_interfejsow.pdf](https://www.kul.pl/files/55/08_Cudo_Zabielska_Balaj_Wprowadzenie_w_zagadnienie_interfejsow.pdf)

39 49 50 Closed-Loop Systems and Real-Time Neurofeedback in ...

[https://www.sciencedirect.com/science/article/pii/S2451902224003112?utm\\_source=chatgpt.com](https://www.sciencedirect.com/science/article/pii/S2451902224003112?utm_source=chatgpt.com)

40 41 Combining Brain-Computer Interfaces and Assistive Technologies: State-of-the-Art and Challenges - PMC

<https://PMC.ncbi.nlm.nih.gov/articles/PMC2944670/>

42 Steady-state visually evoked potentials: focus on essential ...

[https://pubmed.ncbi.nlm.nih.gov/19963032/?utm\\_source=chatgpt.com](https://pubmed.ncbi.nlm.nih.gov/19963032/?utm_source=chatgpt.com)

43 Testing the auditory steady-state response (ASSR) to 40-Hz ...

[https://PMC.ncbi.nlm.nih.gov/articles/PMC12340784/?utm\\_source=chatgpt.com](https://PMC.ncbi.nlm.nih.gov/articles/PMC12340784/?utm_source=chatgpt.com)

60 The Kuramoto model: A simple paradigm for synchronization ...

[https://felixritortlab.com/wp-content/uploads/2025/02/ACEBONPERRITSPI.RMP05.pdf?utm\\_source=chatgpt.com](https://felixritortlab.com/wp-content/uploads/2025/02/ACEBONPERRITSPI.RMP05.pdf?utm_source=chatgpt.com)